На правах рукописи

ТРОФИМОВ Игорь Сергеевич

УДК 541.135.3:546.42 + 546.42'131'21

ЗАКОНОМЕРНОСТИ ЭЛЕКТРОДНЫХ ПРОЦЕССОВ С УЧАСТИЕМ СТРОНЦИЯ НА ЖИДКИХ МЕТАЛЛАХ В ХЛОРИДНЫХ И ОКСИДНО-ХЛОРИДНЫХ РАСПЛАВАХ

Специальность 02.00.05 – электрохимия

АВТОРЕФЕРАТ Диссертации на соискание ученой степени кандидата химических наук

Работа выполнена на кафедре «Технологии электрохимических производств» в Новомосковском институте Российского химико-технологического университета им. Д.И. Менделеева

Научный руководитель:

доктор химических наук, профессор

Волкович Анатолий Васильевич

Официальные оппоненты:

доктор химических наук, профессор

Лебедев Владимир Александрович

кандидат химических наук, ст. научн. сотр. Чемезов Олег Владимирович

Ведущая организация:

Ковровская государственная технологическая академия, г. Ковров

Защита состоится <u>« 14 » июня</u> 2006 г. в 13-00 ч. на заседании диссертационного совета Д 004.002.01 в Институте высокотемпературной электрохимии Уральского отделения Российской академии наук по адресу: 620219, г. Екатеринбург, ГСП-146, ул. С. Ковалевской, 22

С диссертацией можно ознакомиться в библиотеке УрО РАН

Автореферат разослан « 3 » мая 2006 г.

Ученый секретарь диссертационного совета кандидат химических наук

Анфиногенов А.И.

Актуальность работы. Металлический стронций применяется для производства сплавов, используемых как раскислители и модификаторы в черной и цветной металлургии в качестве геттера в вакуумной аппаратуре. Одним из основных методов получения металлического стронция, его сплавов является электролиз расплавленных солевых смесей с катодами из легкоплавких металлов. Однако, вопросам кинетики процессов, протекающих на жидкометаллических электродах, в расплавах с высоким содержанием хлорида стронция не уделялось внимания. Наличие в солевой фазе оксидов в значительной мере осложняет процесс электролиза. Электродные процессы в таких расплавах практически не изучены. Отсутствуют сведения о термодинамических свойствах жидких сплавов систем Al-Sr и Cd-Sr. В связи с изложенным, актуальным является исследование процессов, протекающих при катодном выделении стронция на жидких цинке, алюминии, кадмии и при анодном растворении стронциевых сплавов в богатых стронцийсодержащих хлоридных и смешанных хлоридно-оксидных расплавах, а так же изучение термодинамических свойств жидких сплавов стронций-алюминий и стронций-кадмий.

<u>Цель работы.</u> Исследование электрохимического поведения стронция при электролизе стронцийсодержащих хлоридно-оксидных расплавов с жидким цинковым, алюминиевым и кадмиевым электродами.

Научная новизна.

- методом э.д.с. впервые определены термодинамические характеристики жидких сплавов системы Cd-Sr и Al-Sr в области температур 963–1013 К и 973–1073 К соответственно.
- проведено систематическое изучение процессов, протекающих на жид-ком цинковом, алюминиевом и кадмиевом катодах в расплавах (K–Na)Cl $_{3\kappa B}$ –26 мол. % SrCl $_2$, (K–Na)Cl $_{3\kappa B}$ –26 мол. % SrCl $_2$ +SrO при температуре 973 К и изменении концентрации оксида стронция от 1 мол % до его растворимости.
- исследовано анодное растворение сплавов Zn-Sr, Cd-Sr и в стронцийсодержащих хлоридных и хлоридно-оксидных расплавах.
- установлено влияние времени электролиза, плотности тока, содержания SrO на выход по току стронция в катодный сплав при электролизе хлоридных и хлоридно-оксидных расплавов.

Практическая значимость. Результаты по термодинамическим свойствам жидких сплавов систем Cd-Sr и Al-Sr, полученные впервые, согласно требованиям ИЮПАК, можно считать ориентировочными. Они могут быть использованы в расчетах для получения предварительных сведений о коэффициентах диффузии и значениях диффузионного слоя в металлических сплавах. Сведения о выходах по току стронция и электродных процессах, протекающих в стронцийсодержащих хлоридных и хлоридно-оксидных расплавах могут быть использованы для организации технологических процессов получения стронция и его сплавов.

<u>Апробация работы</u>. Основные результаты работы доложены на XIII Российской конференции по физической химии и электрохимии расплавленных и твердых электролитов (Екатеринбург 2004); Всероссийской конферен-

шии «Химия твердого тела функциональные. материалы»; IV семинаре СО РАН-УрО РАН (Екатеринбург 2004); XVI Международной конференции молодых ученых по химической технологии «МКХТ-2004» (Москва 2004); II Международной конференции «Металлургия цветных и редких металлов» (Красноярск, 2003); научно-практической конференции «Теория и практика электрохимической технологии» (Екатеринбург 2003); IV, V, VI, VII научно-технической конференции молодых ученых и аспирантов Новомосковского института РХТУ им. Д.И. Менделеева (Новомосковск, 2002, 2003, 2004, 2005); Научно-технической конференции Новомосковского института РХТУ им. Д.И. Менделеева (Новомосковского института РХТУ им. Д.И. Менделеева (Новомосковск 2004);

<u>Публикации</u>. Основные материалы диссертации опубликованы в 3 статьях и 17 тезисах докладов.

Объем и структура работы. Диссертация состоит из введения, шести глав, заключения, списка использованных источников. Изложена на 121 стр., включает 38 рис., 18 табл. Список цитируемой литературы содержит 131 название.

Содержание работы.

Во <u>введении</u> обосновывается целесообразность и актуальность работы, и сформулированы задачи исследования.

В первой главе приведен литературный обзор, позволяющий охарактеризовать состояние вопроса об электрохимическом поведении стронция в хлоридных и оксидно—хлоридных расплавах на основе хлоридов шелочных металлов с участием жидкометаллических электродов. Из литературного обзора следует, что вопросу исследования катодных процессов не уделялось достаточного внимания, о чем свидетельствует ограниченное число публикаций. О поведении стронция в оксидно—хлоридных расплавах публикаций не обнаружено. Имеющиеся сведения о термодинамических свойствах сплавов системы стронций—алюминий относятся к температурам выше 1100 К. Опубликованные значения растворимости стронция в жидком алюминии противоречивы. Сведений о термодинамических характеристиках сплавов системы стронций—кадмий в литературе не обнаружено.

Во второй главе представлена методика подготовки исходных солей, схема электрохимической ячейки, а так же методика проведения экспериментов.

В третьей главе представлены результаты исследования методом э.д.с. термодинамических свойств жидких сплавов систем Sr–Al и Sr–Cd в интервале температур 973–1073 К и 963–1013 К соответственно. Концентрационные зависимости потенциалов для жидких гомогенных сплавов получены обработкой экспериментальных данных методом наименьших квадратов с 95 % доверительной вероятностью и представлены в табл. 1. Для интервала температур 973–1073 К получено уравнение линии ликвидус системы Sr–Al $\ln X_{L+SrAl_4} = 0.44 - 3566 \cdot T^{-1} \pm 0.003$. Так при температурах 973, 998, 1023,

Таблица 1

Коэффициенты уравнений изотерм вида E=a+blnX и параметры КФПЭД Систе-T, K E=a+blnX $-\ln \overline{X}$ $-\overline{E}$.B $S_0^2 \cdot 10^{-6}$ ма , B² -a -h 4.8218 973 3.206 0.0414 3.006 8 1,41 998 3.198 0.0423 5.1587 2.980 12 1.98 Sr-A1 9 1023 3.182 0.0418 4,9709 2,974 2,40 12 1048 3,167 0.0414 5.5310 2.938 0.70 2,86 0.0420 1073 3.154 5,1389 2,938 7 0.76 963 3,094 0.0435 5,4786 2,855 6 973 3.078 10 0.51 0.0431 5,2740 2.851 Sr-Cd 993 3.068 0.0439 4.9452 2.851 9 0.21 1003 3,063 0.0450 4,8067 2,846 11 0.98 1013 3.051 0.0450 11 0.60 4.8530 2.833

1048, 1073 К растворимость стронция в жидком алюминии составляет: 3,97; 4,35; 4,75; 5,16; 5,59 мол. % соответственно. Полученные значения отличаются от литературных данных на 0,07 логарифмической единицы, что позволяет считать их оценочными. Получены эмпирические уравнения политерм коэффициентов активности в области Генри вида

для системы Sr-A1
$$\ln \gamma = 3,049 - 12264 \cdot T^{-1} \pm 0,03$$
 (1)

для системы Sr–Cd
$$lny = 1,680 - 14385 \cdot T^{-1} \pm 0,05$$
 (2)

Таблица 2 Изменение парциально-молярных величин энергии Гиббса, энтальпии и энтропии стронция в сплавах с кадмием и алюминием при 973 К

Функция	Sr-Al	Sr-Cd	Функция	Sr-Al	Sr-Cd
$\Delta \overline{H}_{\mathrm{Sr}}^{\mathrm{ofp}}$ кДж/моль	-174,9	-119	$\Delta \overline{H}_{\mathrm{Sr}}^{\mathrm{usf}}$, кДж/моль	-102	-119
$\Delta \overline{S}_{Sr}^{o 6 p}$ Дж/моль·К	-60,2	-25,7	$\Delta \overline{S}_{Sr}^{изб}$ "Дж/моль-К	-25,4	-14,0
$\Delta \overline{G}_{ m Sr}^{ m o f o f p}$ кДж/моль	-116,3	-144,0	$\Delta \overline{G}_{\mathrm{Sr}}^{\mathrm{изб}}$, кДж/моль	78,0	-105,9

Термодинамические характеристики жидких сплавов Sr-Al и Sr-Cd (табл. 2) свидетельствуют о сильном межчастичном взаимодействии компонентов. В системе Sr-Cd взаимодействие сильнее, чем в системе Sr-Al.

В <u>четвертой главе</u> приведены результаты изучения катодной поляризации жидкометаллических электродов в хлоридных и оксидно-хлоридных

расплавах. Поляризационные кривые снимали коммутаторным методом. Электродом сравнения служил хлорный электрод.

Типичные поляризационные кривые жидких цинкового, кадмиевого, оловянного и алюминиевого электродов в расплаве (K-Na)Cl_{экв}-26 мол. % $SrCl_2$ при температуре 973 К показаны на рис. 1

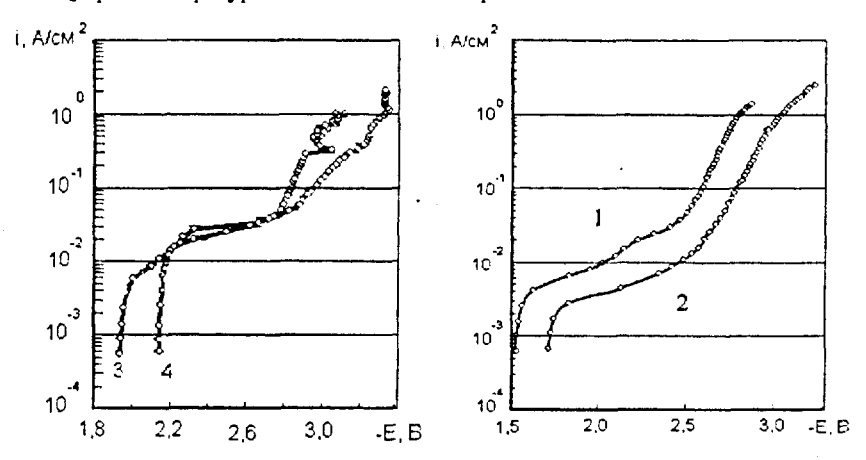


Рис. 1 Поляризация жидких оловянного (1), кадмиевого (2) цинкового (3), алюминиевого (4) катодов в расплаве (K–Na) $\text{Cl}_{2\kappa B}$ –26 мол. % SrCl₂

Стационарные потенциалы оловянного, кадмиевого, цинкового и алюминиевого электрода равены: -1.53, -1.72, -1.94, -2.14 В соответственно. При плотности тока до $(7-12)\cdot 10^{-3}$ А/см² на поляризационных кривых имеются практически вертикальные участки, соответствующие токам коррозии. С ростом катодной плотности тока при потенциале -(2.1-2.2) В наблюдается волна, отвечающая перезаряду ионов стронция

$$Sr^{2+} + e = Sr^{+} \tag{3}$$

Более размытая волна перезаряда ионов стронция на оловянном (кривая 1) и кадмиевом (кривая 2) катодах, по сравнению с цинковым (кривая 3) и алюминиевым (кривая 4) катодом связана с тем, что из-за более электроотрицательных потенциалов коррозия цинка и алюминия протекает более интенсивно, чем олова и кадмия. Сумма плотностей тока коррозии и плотности тока перезаряда составляет остаточную плотность тока (i_{oct}). С ростом плотности поляризующего тока выше i_{oct} потенциалы электродов достигают величин, отвечающих началу разряда ионов стронция с образованием сплавов, который протекает с деполяризацией. Для жидких цинкового, кадмиевого, оловянного и алюминиевого катодов потенциалы начала сплавообразования равны -2,77,-2,61-2,48 и -2,82 В соответственно.

На поляризационной кривой цинкового катода (рис. 1, кривая 3) при плотностях поляризующего тока, превышающих 0,3 А/см2 наблюдаются скачки потенциала электрода, которые достигают 0,12 В. Это связано с тем, что за время импульса поляризации скорость разряда ионов стронция превышает скорость диффузии стронция с поверхности в глубь сплава. Поверхностный слой катода обогащается стронцием. Потенциал электрода смещается в более электроотрицательную сторону. После отключения тока, за счет диффузии стронция в объем жидкого цинка, концентрация его в поверхностном слое электрода снижается и потенциал катода принимает более электроположительные значения. Когда на поверхности цинкового катода образуется пересыщенный раствор стронция в цинке, становится возможным образование твердой фазы интерметаллического соединения SrZn₁₃. Ее образование сопровождается фазовой поляризацией (η). В сплавах системы Sr-Al, в которых растворимость стронция при 973 К примерно в 15 раз выше (3,98 мол. %), а коэффициент активности почти на 1,5 порядка выше $(6,8\cdot10^{-5})$ по сравнению со сплавом Sr-Zn, пересыщение жидких сплавов наступает при более высоких плотностях тока (0,8 A/cm²) и при потенциалах близких к началу разряда ионов натрия с образованием сплава. Поэтому на кривой 4 (рис. 1) не наблюдаются скачки электродного потенциала. На жидком кадмиевом и оловянном электродах таких процессов не наблюдалось, так как системы Sr--Cd и Sr-Sn при 973 К характеризуются общирной областью гомогенного состояния (до 30 мол. % Sr).

Зависимость остаточной плотности тока от количества пропушенного электричества получена снятием E- τ кривых включения-отключения. В стационарном режиме диффузионного массопереноса скорость отвода субионов стронция в глубь расплава лимитирует скорость процесса перезаряда. Например, для ионов Sr^{\dagger} он выражается уравнением

$$i_{nep} = \frac{F \cdot D_{Sr^{+}} \cdot (C_{Sr^{+}}^{s} - C_{Sr^{+}}^{0})}{\delta}$$
 (4)

где D_{Sr^+} – коэффициент диффузии субионов стронция в электролите, δ – толщина диффузионного слоя электролита.

При пропускании тока, расплав насыщается субионами стронция. Уменьшение градиента концентрации ионов Sr⁺, как видно из выражения (4), приводит к уменьшению остаточной плотности тока. Зависимость остаточной плотности тока в электролите, насыщенном субионами стронция, для кадмия, цинка и алюминия, в интервале температур 973−1023 K, аппроксимируется соответственно уравнениями

$$ln i_{ocr} = 24,14-21,96\cdot10^3 T^{-1}$$
(5)

$$\ln i_{\text{oct}} = 13,64 - 11,70 \cdot 10^3 \text{ T}^{-1} \tag{6}$$

$$\ln i_{\text{oct}} = 6,46-3,88\cdot10^3 \text{ T}^{-1} \tag{7}$$

Если вести электролиз с $i_k > i_{\text{ост}}$ на 10^{-3} А/см² в течении времени, достаточном для установления стационарного режима диффузии стронция в жидком катоде (15 с), используя известные значения коэффициента диффузии стронция в металле катода, то можно рассчитать коэффициент активности стронция в металлической фазе по уравнению

$$E = E_{p} - \frac{RT}{nF} \ln \frac{2i\sqrt{\tau} \cdot A \cdot \gamma}{nF\sqrt{\pi D} \cdot d}$$
 (8)

Результаты расчетов коэффициентов активности стронция из поляризационных измерений представлены в табл. 3.

Таблица 3 Оценка коэффициентов активности стронция в жидких сплавах с цинком, кадмием, оловом и алюминием различными методами при 973 К

Система,	-Енв, В	ΔΕ, Β	Коэффициент активности		
			Расчет по уравнению (8)	литературные данные	
Sr-Zn	2,770	0,868	1,2.10-5	7,0.10-6	
Sr-Cd	2,610	1,008	6,0.10-7	1,9.10-6*	
Sr-Al	2,820	0,798	1,1⋅10	6,7.10-5*	
Sr–Sn	2,480	1,195	6,6.10-9	3,8·10 ⁻⁹	

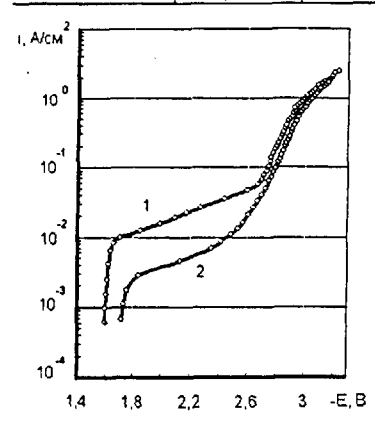


Рис. 2 Поляризация жидкого кадмиевого катода в расплаве (K–Na)Cl_{экв}–26 мол. % SrCl₂ Температура, K: 1-1023, 2-973

Из табл. 3 видно, что величины коэффициентов активности стронция в разбавленных сплавах, определенные из поляризационных измерений удовлетворительно согласуются с величинами, полученными в настоящей работе (*) и литературными данными.

Влияние температуры на катодную поляризацию представлено на примере жидкого кадмиевого катода (рис. 2). Видно, что увеличение температуры приводит лишь смещению потенциала электрода в область более электроположительных значений и увеличению остаточных токов от 0.021 ДО 0.057 A/cm^2 . Потенциал начала вылеления стронция сплав калмием более становится электроотрицательным от -2,61 до -2,66 В.

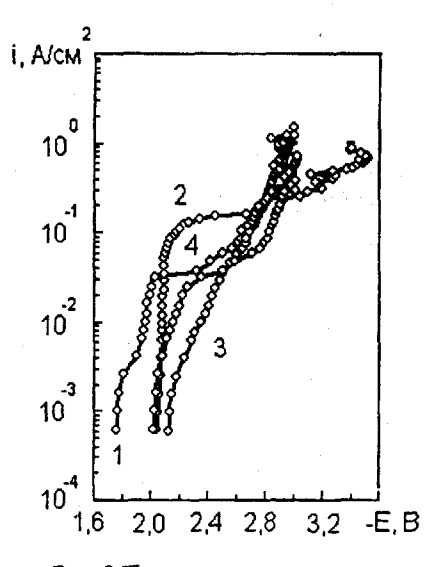


Рис. 3 Поляризация жидких кадмиевого (1), цинкового (2, 4) и алюминиевого (3) катодов в расплаве (K–Na)Cl_{экв} 26 мол. % SrCl₂–SrO Содержание SrO, мол.%: 1. 2 .3–3.6. 4–2.4

В оксидно-хлоридных расплавах с ростом содержания оксида стронция стационарные потенциалы кадмиевого, цинкового и алюминиевого электродов смещаются в область более электроотрицательных значений на 0,04-0,1 В (рис. 3), по сравнению с хлоридными расплавами (рис. 1). Это можно объяснить понижением коэффициентов активности образующихся ионов кадмия, цинка и алюминия в оксидно-хлоридных расплавах. Учитывая невысокую растворимость CdO (0,026 мол. %), ZnO (0,022 мол. %) и Al₂O₃ (следовые количества) в расплаве (K-Na)Cl_{экв}-26 мол. % SrCl₂, можно полагать, что конечными продуктами коррозии кадмия, цинка и алюминия в оксидно-хлоридных расплавах являются их твердые оксиды, образующиеся на поверхности жидких металлов. При катодной поляризации в области малых плотностей тока на

поверхности электродов, так же как и в хлоридных расплавах, восстанавливаются катионы металлов катода, но при более отрицательных потенциалах (-1,640, -2,037, -2,285 В соответственно для кадмиевого, цинкового и алюминиевого электродов при содержании в электролите 3,62 мол. % SrO). Плотность тока коррозии при этом возрастает, по сравнению с наблюдаемой в хлоридных расплавах (рис. 1). Остаточные плотности тока значительно возрастают с добавлением оксида стронция в расплав, принимая наибольшие значения в расплаве насыщенном по оксиду стронция (3,62 мол. %) при 973 К. Это связано с тем, что с перезарядом ионов стронция протекает реакция металлотермического восстановления образовавшихся на поверхности катодов соответствующих оксидов, например,

$$ZnO + Sr^{2+} + 2e = Zn + SrO$$
 (10)

Подтверждением этого служит появление на поляризационной кривой цинкового и кадмиевого катодов второй волны при потенциалах $-(2,40-2,50~\mathrm{B})$ и -(1,90-2,20) В соответственно. На алюминиевом катоде стационарный потенциал электрода ($E=-2,14~\mathrm{B}$) близок к потенциалу перезаряда ионов стронция ($-2,1-2,2~\mathrm{B}$). Участка, отвечающего металлотермической реакции не наблюдается, так как восстановление Al_2O_3 стронцием возможно лишь в области потенциалов более отрицательных, чем выделение натрия из исследуемых электролитов. Поэтому на поляризационной кривой алюминиевого

катода не наблюдается участка сплавообразования (рис. 3). При $i_k > i_{oct}$ потенциал электрода резко смешается в область электроотрицательных значений и достигает величин $-(3,30-3,40\ B)$, отвечающих выделению натрия в данном электролите. Таким образом, алюминиевый катод в оксидно-хлоридных стронцийсодержащих расплавах ведет себя как индифферентный электрод. На жидких цинковом и кадмиевом катодах сплавообразование начинается при достижении потенциалов $-(2,8-3,0\ B)$ и $-(2,65-3,1\ B)$ соответственно (рис. 3). При этом их значения на $0,06-0,07\ B$ электроотрицательнее, чем в хлоридных электролитах. При дальнейшем росте плотности поляризующего тока на цинковом катоде наблюдаются скачки потенциала в области $-(2,9-3,0)\ B$, как и в хлоридных электролитах.

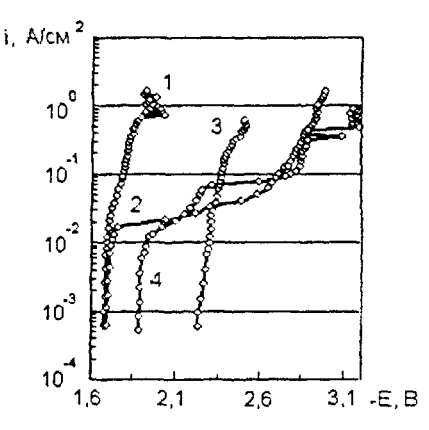


Рис. 4 Поляризация жидких Cd (1) и Zn (2) катодов, содержащих на поверхности соответственно таблетки CdO и ZnO и предварительно окисленных кадмия (3) и цинка (4) при 973 К

Стационарные потенциалы предварительно окисленных электродов в хлоридном расплаве (рис. 4, кривая 2, 4) электроположительные более значения. Это связано с увеличением в приэлектродном слое концентрации ионов цинка, кадмия, как за счет их коррозии, так и за счет частичного растворения оксидов. На кривых наблюдаются две волны. Первая отвечает реакции перезаряда ионов стронция (3), втораяпротеканию металлотермической реакции (10). По сравнению с поляризацией чистого цинка и кадмия плотности остаточных токов возрастают до 0,11 и 0,046 А/см² соответственно. Потенциалы начала восстановления ионов стронция смешаются на 0,06 - 0,07 В в сторону электроотрицательных значений. сплавообразования стронция с кадмием и цинком протекает аналогично хлоридным расплавам. Для подтверждения протекания

металлотермической реакции проведена поляризация цинкового (рис. 4, кривая 2) и кадмиевого (рис. 4, кривая 1), электродов с помещенной на их поверхность таблеткой из прессованного оксида соответствующего металла (0,2 г). Видно, что потенциалы электродов отвечают протеканию только металлотермической реакции (-1,9 В для CdO и -2,5 В для ZnO).

<u>Пятая глава</u> посвящена исследованию анодной поляризации кадмия, цинка и их сплавов в хлоридных и оксидно-хлоридных расплавах при температуре 973 и 1023 К.

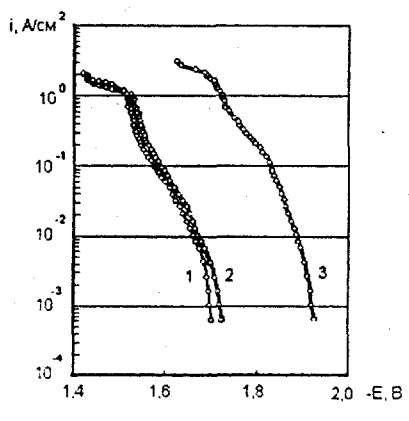


Рис. 5 Анодная поляризация кадмия (1, 2) и цинка (3) в расплаве (K-Na)Cl_{экв}-26 мол. % SrCl₂ Температура, К: 1 – 1023, 2, 3 – 973

На рис. 5 представлены типичные поляризационные кривые анодного растворения цинка и кадмия.

В интервале плотностей тока от (4–10)·10⁻³ до (1–2)·10⁻¹ А/см² наблюдаются прямолинейные участки, уравнения которых, рассчитанные методом наименьших квадратов соответственно для кадмия и цинка, имеют вид

$$E = -1,502 + 0,041 \ln i \pm 0,002 B$$
 (11)

$$E = -1.734 + 0.041 \text{ lni} \pm 0.003 \text{ B}$$
 (12)

Валентность ионов кадмия и цинка, определенная по значениям предлогарифмических коэффициентов этих уравнений равна 2,02. При плотностях тока выше $2 \cdot 10^{-1} \text{ A/cm}^2$ наблюдается изменение наклона поляризационных кривых. Это связано с тем, что при плотностях тока выше $2 \cdot 10^{-1} \text{A/cm}^2$ скорость образования Cd^{2+} и Zn^{2+} в прианодном слое электролита превышает скорость их

отвода в объем солевой фазы. Их накопление в прианодном слое приводит к изменению коэффициента активности. При плотностях поляризующего тока превышающих 1 A/cм² потенциал анода резко смещается в область более электроположительных значений. В этих условиях прианодный слой расплава, обогащен ионами цинка и кадмия и растворение металлов происходит как в расплаве собственных хлоридов.

В интервале плотностей поляризующего тока 0,8–1,0 A/см² наблюдается уменьшение поляризации жидкометаллических электродов. При анодной поляризации жидких цинка и кадмия при высоких і_к происходит изменение межфазного натяжения на границе электрод-электролит. В результате возникает движение поверхностного слоя металла и прилегающего к нему слоя электролита. Движение последнего приводит к уменьшению концентрации потенциалопределяющих ионов кадмия или цинка в приэлектродном слое электролита. Следствием является заметное уменьшение анодной поляризации (рис. 5), по сравнению с тем, если бы отвод ионов цинка в глубину расплава осуществлялся только за счет диффузии.

Увеличение температуры от 973 до 1023 К не изменяет общего хода поляризационных кривых. Происходит лишь смещение потенциалов электрода в область более электроположительных значений. Возрастают токи коррозии до 7·10⁻³ A/cм². Валентность образующихся ионов кадмия, рассчитанная по тангенсу угла наклона прямолинейного участка, равна 1,97, то есть растворе-

ние металла сопровождается образованием преимущественно его двухвалентных ионов.

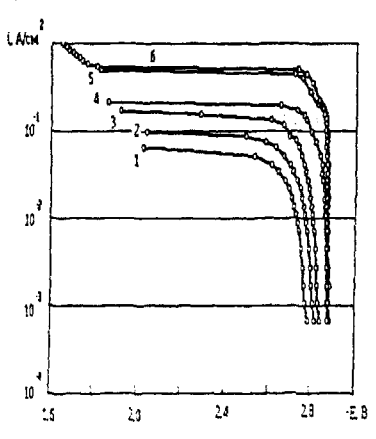


Рис. 6 Поляризация сплавов Sr– Zn в расплаве (K–Na)Cl_{экв}–26 мол. % SrCl₂ Содержание стронция в сплаве, мол. дол.·10⁻³: 1 − 0,43; 2 − 0,87; 3 − 1,31; 4 − 2,18; 5 − 4,35; 6 − 5,22

Результаты измерения анодной поляризации сплавов стронция с цинком представлены на рис. 6. Видно, что с увеличением содержания стронция потенциал жидких гомогенных сплавов смещается в сторону более электроорицательных значений. Это связано с ростом активности стронция в металлической фазе. В области, предшествующей достижению предельной плотности тока $(0.04-0.12 \text{ A/cm}^2)$. наблюдается уменьшение поляризации. При переходе к насыщенным двухфазным сплавам системы Sr-Zn (кривые 5, 6), в которых активность стронция постоянна, потенциалы сплавов принимают практически одинаковые значения -2,88 В. До плотностей тока до $0.025-0.04 \text{ A/cm}^2$ потенциалы ионизации стронция из двухфазных сплавов Sr-Zn практически постоянны, что связано с постоянством коэффициента активности стронция в этих сплавах. При большей плотности поляризующего тока потенциалы сплавов смещаются в более электроположительную область.

Во всех случаях при потенциалах положительнее –2,70 В, наблюдается их резкое смещение в область более электроположительных значений. Для системы Sr–Zn, при плотностях тока, предшествующих достижению предельной диффузионной плотности тока растворения стронция из сплава, наблюдается уменьшение поляризации, что так же связано с проявлением межфазной конвекции.

Используя уравнение (13) рассчитали толщину диффузионного слоя в

$$i_{mp} = \frac{n \cdot F \cdot D \cdot C^0}{\delta}$$
 (13)

сплаве Sr–Zn, которая равна $(1,2-1,6)10^{-3}$ см. Значительно меньшее, чем рекомендуемое в литературе значение δ свидетельствуют о том, что в массоперенос вносит вклад движение поверхностного слоя металлической фазы.

Результаты анодного растворения кадмия, цинка и их сплавов со стронцием в оксидно-хлоридных расплавах приведены на рис. 7 и 8.

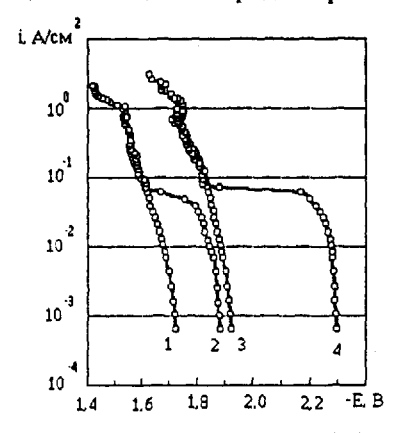


Рис. 7 Поляризация кадмия (1, 2) и цинка (3, 4) в расплаве (K-Na)Cl_{экв}-26 мол. % SrCl₂-SrO Содержание SrO, мол. %: 1, 3 – 0, 2, 4 – 3,6

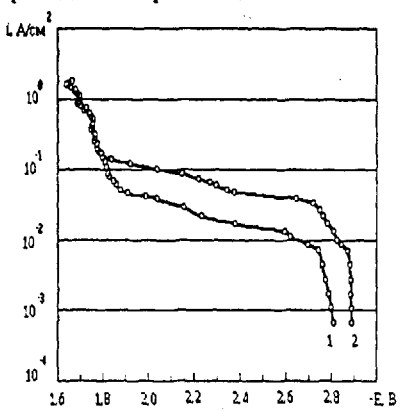


Рис. 8 Поляризация сплавов SrZn в расплаве (K-Na)Cl_{экв}-26 мол. % SrCl₂-SrO Содержание Sr в сплаве, мол. %: 1 - 0.087, 2 - 0.435

Стационарные потенциалы кадмия и цинка принимают более отрицательные значения -1,886 и -2,298 В соответственно (рис. 7). Возрастают плотности токов коррозии с $3\cdot10^{-3}$ до 0,01 А/см² для кадмиевого и с $8\cdot10^{-3}$ до 0,015 А/см² для цинкового электродов. При контакте цинка или кадмия с оксидно-хлоридным расплавом происходит реакция

$$Zn(Cd) + SrO + 2Cl^{-} = ZnO(CdO) + SrCl_{2}$$
 (14)

Образующиеся оксиды цинка (кадмия), вследствие их малой растворимости в расплаве (0,023 мол. % ZnO и 0,029 мол. % CdO), осаждаются на поверхности металла, пассивируя ее. При плотностях поляризующего тока 0,05 А/см² для кадмиевого и 0,07 А/см² для цинкового электродов наблюдается участок предельной плотности тока депассивации кадмия и цинка. При плотностях тока выше 0,08 А/см² ход поляризационных кривых аналогичен наблюдаемому в хлоридном электролите.

Введение в расплав оксида стронция (рис. 8) практически не изменяет хода анодных поляризационных кривых, по сравнению с хлоридным расплавом. Однако, при поляризации гомогенного сплава Sr-Zn участок предельной диффузионной плотности тока проявляется при 0,04 A/cm². Двухфазный сплав Sr-Zn (кривая 2) растворяется до плотности поляризующего тока 0,03 A/cm² без заметной поляризации. Предельная плотность тока растворения стронция из этого сплава составляет 0,06 A/cm². В области плотностей тока,

предшествующих предельной диффузионной плотности тока растворения Sr из сплава как для гомогенных, так и для двухфазных сплавов системы Sr-Zn наблюдается уменьшение поляризации анодов. Это так же свидетельствует о проявлении межфазной конвекции. На участках поляризационных кривых, предшествующих началу ионизации цинка или кадмия, наблюдается волна при потенциалах -2,0-2,2 В. В этой области потенциалов в оксидно-хлоридных расплавах, возможно образование оксида цинка или кадмия.

В шестой главе изучено влияние различных факторов на выход по току стронция в сплав с кадмием, цинком и алюминием в хлоридных и оксидно-хлоридных расплавах.

Влияние плотности тока на выход по току стронция в сплав с цинком и кадмием при температуре 973 К приведены на рис. 9. Количество электричества, пропущенного через расплав соответствовало получению сплава Sr–Zn с концентрацией стронция в сплаве с цинком 1,5 мол. %, в сплаве Sr–Cd 1 мол. %

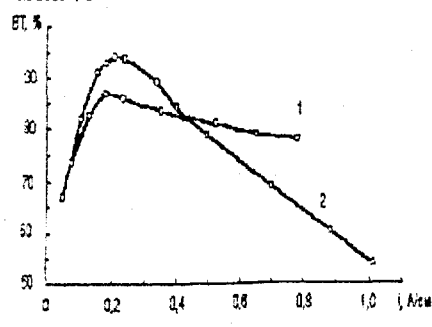


Рис. 9 Выход по току стронция в сплав с цинком (1) и кадмием (2) при электролизе расплава (K–Na)Cl_{экв}–26 мол. % SrCl₂

Максимальный выход по току стронция в сплав с цинком (87 %) и кадмием (93 %) получен при плотностях тока 0,18-0,23 А/см² и 0,15-0,23 А/см² соответственно на цинковом и кадмиевом электродах. При более высоких плотностях тока выход по току стронция в обоих случаях снижается. Для кадмиевого катода это связано с тем, что его потенциал смещается в область более электроотрицательных значений и достигает величин, соответствующих разряду ионов натрия. Доля последнего возрастает с увеличением ік. На цинковом катоде выход по току стронция снижается из-за образования дендридов.

Влияние продолжительности электролиза на выход стронция по току при плотности тока $0.23~{\rm A/cm}^2$ показано на рис. $10~{\rm u}~11$.

Дифференциальный выход по току рассчитывали по уравнению

$$BT^* = \frac{m_n^{np} - m_m^{np}}{m_n^{\text{reop}} - m_m^{\text{reop}}}$$
 (14)

где m_n – масса выделившегося стронция за время t_n m_m – масса стронция за время t_m , $m^{\text{теор}}$ –рассчитанная масса стронция в сплаве.

Электролиз вели из расчета получения сплавов, содержащих 0,5-5 мол. % стронция.

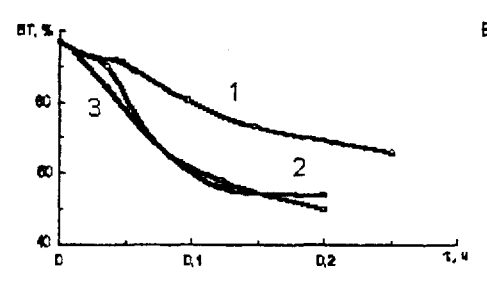


Рис. 10 Влияние времени электролиза на выход по току стронция в сплав с цинком 1 — эксперимент, 2 дифференциальный выход по току 3 — расчет

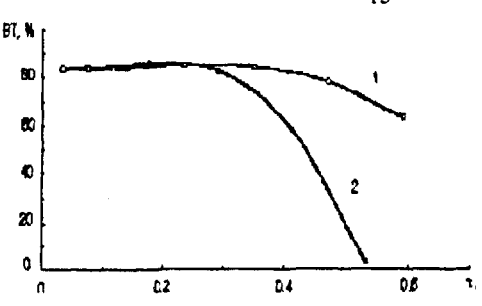


Рис. 11 Влияние времени электролиза на выход по току стронция в сплав с цинком 1 — эксперимент, 2 — дифференциальный выход по току

С увеличением продолжительности электролиза выход по току стронция в сплав с кадмием монотонно уменьшается с 94 до 66 % (рис. 10, кривая 1). Это связано с увеличением доли тока, идущего на разряд ионов натрия. Расчетная кривая, определенная по коэффициентам разделения Sr/Na, удовлетворительно согласуется с кривой 2. В случае цинкового катода (рис. 11) уменьшение выхода по току связано с многократным проявлением фазовой поляризации, в результате чего из—за роста на поверхности катода дендридов SrZn₁₃ увеличивается площадь поверхности электрода. Фактическое значение плотности тока может снижаться вплоть до остаточной плотности тока. О чем свидетельствует уменьшение выхода по току стронция до нуля (рис. 11, кривая 2).

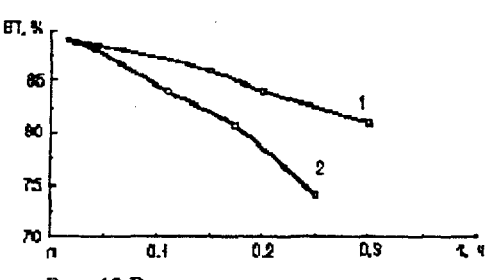


Рис. 12 Влияние времени электролиза на выход по току стронция в сплав с алюминием 1 – эксперимент, 2 дифференциальный выход по току

Результаты исследования выхода по току стронция в сплав с алюминиевым катодом при электролизе хлоридного расплава с плотностью тока 0,13 А/см² приведены на рис. 12

Видно, что с увеличением продолжительности электролиза выход по току стронция в алюминий уменьшается от 89 до 81 %, что связано с протеканием совместного восстановления ионов натрия. Однако, растворимость натрия в алюминии при 973 К равна 0,2

мол. % и уменьшается в присутствии стронция. Последнее приводит к тому, что выделившийся совместно со стронцием натрий не образует сплава, а переходит в солевую фазу.

При i_k =0,23 A/см² выход по току стронция в оксидно-хлоридном расплаве, содержащем от 3,62 до 1,2 мол. % SrO практически не превышал 2-5%. Поэтому изучение выхода по току стронция от плотности тока и продолжительности электролиза проводили при содержании SrO равным 0,36 мол. %. Это связано с тем, что ионы цинка и кадмия, перешедшие в раствор в результате коррозии, взаимодействуют с ионами кислорода, образуя в электролите взвесь из мелкодисперсных оксидов. Поэтому, реакция металлотермического восстановления оксидов цинка и кадмия становится возможной не только на поверхности электрода, но и в объеме солевой фазы. Это требует дополнительного расхода субионов стронция. В результате резко возрастает расход электрического тока на перезаряд ионов стронция. При электролизе оксидно-хлоридного расплава не удалось получить алюмостронциевого сплава. Причина заключается в том, что на поверхности жидкого алюминия образуется труднорастворимая оксидная пленка пассивирующая поверхность электрода.

Результаты экспериментов по определению выхода по току стронция при электролизе расплава (K–Na)Cl_{экв}–26 мол. % SrCl₂–0,36 мол. % SrO при 973 К на жидком цинковом и кадмиевом катодах приведены на рис. 13.

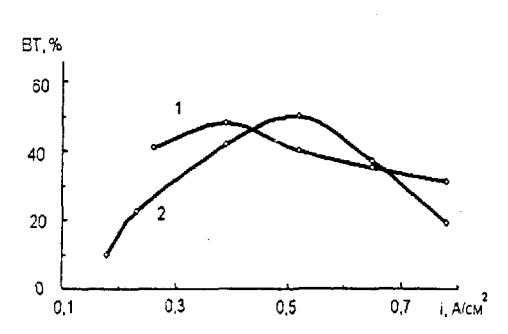


Рис. 13 Выход по току стронция в сплав с цинком (1) и кадмием (2) при электролизе расплава (K–Na)Cl_{экв}–26 мол. % SrCl₂–0,36 мол. % SrO

Видно, что кривые 1 и 2 проходят через максимум. Максимальный выход по току стронция в сплав с цинком получен при i_k =0,39 A/см² и равен 48 %. Это почти в 2 раза меньше, чем в хлоридных расплавах (87 %) На кадмиевом катоде максимальный выход по току равен 50 % при плотности тока 0,52 A/cm^{2} , что так же почти в 2 раза меньше, чем при электролизе хлоридного электролита (92 %). Снижение выхода по току стронция в сплав с цинком и кадмием связано с ростом остаточной плотности тока. Причины

уменьшения выхода по току стронция в сплавах при $i_k>0,39$ (0,52) А/см² аналогичны рассмотренным ранее в хлоридных расплавах.

Влияние продолжительности электролиза на выход по току стронция в сплав с кадмием и цинком при электролизе расплава (K–Na)Cl_{3кв}–26 мол. % SrCl₂–0,36 мол % SrO с плотностью тока 0,39 A/cm² при 973 К. представлено на рис. 14.

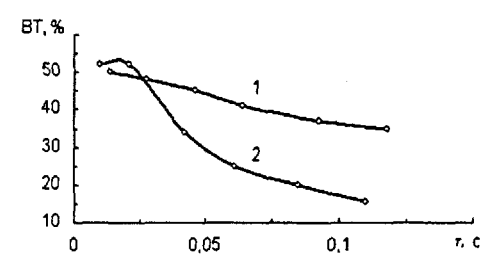


Рис. 14 Выход по току стронция в сплав с цинком (1) и кадмием (2) при электролизе расплава (K–Na)Cl $_{\rm sks}$ –26 мол. % SrCl $_{\rm 2}$ –0,36 мол. % SrO, i=0,39 A/cм $^{\rm 2}$

С увеличением продолжительности электролиза наблюдается уменьшение выхода по току стронция. Причина заключается в том, что по мере обогащения сплава стронцием потенциал его становится более отрицательным и реализуются условия разряда ионов натрия. В случае цинкового катода возможно образование на его поверхности интерметаллического соединения. Поверхность катода возрастает и фактичес—

кая плотность тока становится значительно меньше рассчитанной на исходную геометрическую поверхность жидкого цинка.

В интервале плотностей тока 0,078–0,35 A/cm^2 при температуре 973 и 998 К изучено перенапряжение образования твердой фазы интерметаллического соединения $SrZn_{13}$ на жидком цинковом катоде. Параметры зарождения фазы $SrZn_{13}$ (A-работа по образованию единичного зародыша, n_{κ} число зародышей в кристалле, X/X_0 -степень пересышения) на жидком цинковом катоде представлены в табл. 4

Таблица 4
Параметры зарождения фазы SrZn на жидком цинковом католе

T, K	i, A/cm²	A·10 ²⁰ , Дж	n _k	X/X ₀
973	0,13	7,4	2,40	2,9
	0,26	5,9	1,60	4,5
	0,29	3,1	0,91	5,3
998	0,13	4,6	- 1,92	2,6
	0,26	1,8	1,14	3,8
	0,29	1,4	0,84	4,2

Приведенные данные находятся в удовлетворительном соответствии с известными величинами для зарождения твердой фазы интерметаллических соединений из пересыщенных цинковых сплавов.

ЗАКЛЮЧЕНИЕ

1. Методом э.д.с. впервые исследованы термодинамические характеристики жидких и двухфазных сплавов системы Sr-Al и жидких сплавов системы Sr-Cd в интервале температур 973-1073 и 963-1013 К соответственно. Определена растворимость стронция в жидком алюминии. Установлено, что

системы характеризуются значительным взаимодействием компонентов и отрицательным отклонением от идеальности. В системе стронций-кадмий взаимодействие компонентов более сильное, чем в системе стронций-алюминий. Получены эмпирические уравнения температурных зависимостей термодинамических характеристик жидких и двухфазных сплавов стронция с алюминием и жидких Sr-Cd сплавов. На основании рекомендации ИЮПАК сведения о растворимости стронция в жидком алюминии квалифицируются как оценочные.

- 2. При температуре 973 и 1023 К исследована катодная поляризация жидких кадмиевого, оловянного, цинкового и алюминиевого электродов в расплавах (K-Na)Cl_{экв}, (K-Na)Cl_{экв}-2,6 мол. % SrCl₂ и (K-Na)Cl_{экв}-26 мол. % SrCl₂ Показано, что величина остаточной плотности тока на перечисленных выше металлах увеличивается с увеличением концентрации ионов стронция в электролите. Показано, что разряд ионов стронция в хлоридных расплавах на жидкометаллических электродах протекает с деполяризацией в одну стадию по двухэлектронной схеме. Впервые установлено, что в области плотностей поляризующего тока, отвечающих образованию твердой фазы интерметаллического соединения, разряд ионов стронция сопровождается фазовой поляризацией.
- 3. Предложен метод оценки коэффициента активности стронция в сплавах с жидкими легкоплавкими металлами по поляризационным измерениям. Полученные значения коэффициентов активности стронция в сплавах с кадмием, оловом, цинком и алюминием удовлетворительно согласуются с величинами, определенными методом э.д.с и литературными данными.
- 4. Установлено, что в оксидно-хлоридных расплавах (K-Na)Cl_{экв}-26 мол. % SrCl₂-SrO величина остаточной плотности тока выше, чем в хлоридных электролитах и возрастает пропорционально концентрации оксида стронция в расплаве. Существенный вклад в величину остаточных плотностей тока вносит металлотермическое восстановление оксидных пленок на поверхности катодов. Разряд ионов стронция на цинковом, кадмиевом электродах протекает по двухэлектронной схеме и сопровождается деполяризацией. Как и в хлоридных расплавах имеет место фазовая поляризация в области образования двухфазных сплавов. Жидкий алюминиевый катод в оксидно-хлоридном расплаве ведет себя как индифферентный из-за образования на его поверхности трудно растворимой оксидной пленки.
- 5. Изучена анодная поляризация кадмиевого и цинкового электродов и их сплавов в (K-Na)Cl_{экв}-26 мол. % SrCl₂ и KCl-26 мол. % SrCl₂. Показано, что цинк и кадмий переходят в электролит в подавляющем большинстве в виде двухвалентных ионов. Оценена толщина диффузионного слоя в жидких сплавах Sr-Cd и Sr-Zn при температуре 973 и 1013 K, которая составляет 2,2·10⁻² и 1,4·10⁻³ см соответственно. Растворение стронция из сплавов сопровождается концентрационной поляризацией со стороны металлической

- фазы. При достижении предельной диффузионной плотности тока растворения стронция начинается ионизация металла-растворителя. Растворение сплавов в расплаве (K-Na)Cl_{эке}-26 мол. % SrCl₂-SrO протекает аналогичным образом.
- 6. Изучено влияние катодной плотности тока и продолжительности электролиза на выход по току стронция в сплавы с цинком, кадмием и алюминием при электролизе расплава (K-Na)Cl_{экв}-26 мол. % SrCl_э. Установлено, что с увеличением катодной плотности тока и продолжительности электролиза выход стронция по току в сплав описывается кривой с максимумом. Максимальная величина выхода по току стронция в сплав с цинком составляет 87 %, в сплав с кадмием-93 %, в сплав с алюминием-88 %. Получены сплавы Sr-Zn с концентрацией стронция превышающей его растворимость в цинке при данной температуре. При температурах 973 и 998 К определены параметры зарождения твердой фазы интерметаллического соединения SrZn₁₃: величина максимального фазового перенапряжения, время достижения максимального перенапряжения образования твердой фазы, число атомов стронция в зародыше интерметаллического соединения SrZn_{il}, а так же величина работы по образованию единичного зародыша кристалла интерметаллического соединения и величина пересыщения жидкой фазы сплава. Так при 973 К величина работы по образованию единичного зародыща составила 7,4-10-20 Дж.
- 7. В оксидно-хлоридном электролите выход по току стронция в сплав с кадмием (48 %) и цинком (52 %) ниже, чем в хлоридном расплаве, что связано с протеканием реакции металлотермического восстановления оксидов кадмия (цинка) ионами стронция. На эти процессы расходуется дополнительное количество электричества, что приводит к снижению выхода по току стронция в сплав с данными металлами. На алюминиевом катоде в оксидно-хлоридном расплаве стронций не выделяется в сплав, из-за образования на поверхности электрода трудно растворимой оксидной пленки.

Основное содержание диссертации изложено в публикациях

- 1. Трофимов И.С., Горбачев А.Е., Журавлев В.И., Волкович А.В. Катодная поляризация окисленных цинка и кадмия в хлоридных расплавах. // Успехи химии и хим. технологии / Тез. докл. XVI Междунар. конф.-М.: РХТУ.-2002.-С. 121.
- 2. Трофимов И.С., Горбачев А.Е., Волкович А.В., Ермаков Д.С., Журавлев В.И. Влияние оксидных примесей на катодные процессы в хлоридных расплавах. // IV н.-т конф. молодых ученых и аспирантов / Тез. докл.-Новомосковск; НИ РХТУ.-2002.-С. 153-154.
- 3. Горбачев А.Е., Волкович А.В., Журавлев В.И., Трофимов И.С., Пишикин А.Е. Влияние оксидов на катодную поляризацию жидкого кадмия в расплавах хлоридов стронция. // V н.—т конф. молодых ученых и аспирантов / Тез. докл.—Новомосковск: НИ РХТУ.—2003.—С. 219.

- 4. Трофимов И.С., Волкович А.В., Журавлев В.И., Горбачев А.Е. Оценка коэффициентов активности щелочноземельных металлов в сплавах с кадмием и алюминием по поляризационным измерениям. // V н.-т конф. молодых ученых и аспирантов / Тез. докл.-Новомосковск: НИ РХТУ.-2003.-С. 226.
- 5. Горбачев А.Е., Трофимов И.С., Журавлев В.И., Волкович А.В., Сушенков В.П. Электродные процессы на жидком кадмии в барийсодержащем расплаве хлоридов калия и натрия. // V н.-т конф. молодых ученых и аспирантов / Тез. докл.-Новомосковск; НИ РХТУ.-2003.-С. 218.
- 6. Zhuravlev V.I., Volkovich A.V., Gorbachev A.E., Trofimov I.S. Estimation of depolarization at the allows formation by zink and cadmium with alkali-earth metals. // Metallurgy of non-ferrous and rare metals / Book of Abstracts of the 2-nd Int. Conf. (septem. 9-12) 2003.-Krasnoyarsk: IHHT SB RAS.-2003.-Vol. 2.-P. 91-93.
- 7. Журавлев В.И., Волкович А.В., Горбачев А.Е., Трофимов И.С. Процессы на жидком цинковом и кадмиевом электродах в барийсодержащих хлоридных и оксидно-хлоридных расплавах. // Теория и практика электрохим. технологий. / Тез. докл. н.-практич. конф.-Екатеринбург: ГОУ ВПО УГТУ-УПИ.-2003.-С. 32-34.
- 8. Журавлев В.И., Волкович А.В., Горбачев А.Е., Трофимов И.С. Оценка коэффициентов активности кальция, стронция, бария в сплавах с цинком, кадмием, алюминием. // Тр. НИ РХТУ. Сер. Физическая химия и электрохимия. Новомосковск: НИ РХТУ. 2004.—Вып. 2 (12). С. 11 22.
- 9. Журавлев В.И., Волкович А.В., Горбачев А.Е., Трофимов И.С. Перенапряжение фазообразования при выделении бария и стронция на жидком цинковом катоде. // Науч. конф. профессорско-преподават. состава и сотрудников НИ РХТУ / Тез. докл.-Новомосковск НИ РХТУ, 2004.-С. 211.
- 10. Журавлев В.И., Волкович А.В., Трофимов И.С., Горбачев А.Е. Анодная поляризация сплавов цинка, кадмия с барием и стронцием в хлоридных и оксидно-хлоридных расплавах. // Науч. конф. профессорско-преподават. состава и сотрудников НИ РХТУ / Тез. докл.—Новомосковск НИ РХТУ, 2004.—С. 210.
- 11. Трофимов И.С., Волкович А.В., Журавлев В.И., Сайгараев М.В. Фазовая поляризация при электролитическом получении сплавов стронция с цинком и алюминием. // VI н.-т. конф. молодых ученых, аспирантов / Тез. докл.-Новомосковск: НИ РХТУ, 2004, С.164.
- 12. Журавлев В.И., Волкович А.В., Горбачев А.Е., Трофимов И.С. Анодная поляризация цинка, кадмия и их сплавов с барием и стронцием в барий—, стронцийсодержащих хлоридных и оксидно—хлоридных расплавах. // ХІІІ Рос. конф. по физич. химии и электрохимии распл. и тв. электролитов / Тез. докл.—Екатеринбург: ИВТЭ УрО РАН.—2004.—Т.1.—С. 184—185.
- 13. Волкович А.В., Журавлев В.И., Трофимов И.С., Казанцев Г.Н. Катодная поляризация при зарождении интерметаллидов в сплавах стронция с цинком и алюминием // XIII Рос. конф. по физич. химии и электрохимии распл. и тв.

- электролитов / Тез. докл.-Екатеринбург: ИВТЭ УрО РАН.-2004.-Т.1.-С. 182-183.
- 14. В.И. Журавлев, А.В. Волкович, А.Е. Горбачев, И.С. Трофимов Термодинамические характеристики сплавов алюминия с барием и стронцием. Химия твердого тела и функциональные материалы // Сб. тез. докл. Всерос. конф. «ХТТ функциональн. материалы—2004» и IV сем. СО РАН-УрО РАН, Екатеринбург, 2004.—С. 135.
- 15. Трофимов И.С., Журавлев В.И., Волкович А.В. Сплавообразование при выделении стронция на жидких металлических катодах. // Успехи в химии и химической технологии / Сб. науч. тр.—М.: РХТУ им. Д.И. Менделеева, 2004.—Т. 18.—№ 4.—С. 36—38.
- 16. Трофимов И.С., Журавлев В.И., Волкович А.В. Растворимость и термодинамические характеристики стронция в сплавах с алюминием. // VII н.-т. конф. молодых ученых, аспирантов / Тез. докл.-Новомосковск: НИ РХТУ, 2005.-Ч. 1.-С.136.
- 17. Трофимов И.С., Журавлев В.И., Волкович А.В. Оценка методом ЭДС термодинамических характеристик стронция в сплавах с жидким кадмием. // VII н.-т. конф. молодых ученых, аспирантов / Тез. докл.-Новомосковск: НИ РХТУ, 2005.-Ч. 1.-С.138.
- 18. Клешня Я.О., Волкович А.В., Журавлев В.И., Горбачев А.Е., Трофимов И.С. Пассивация жидких металлических электродов в оксидно-хлоридных расплавах. // VII н.-т. конф. молодых ученых, аспирантов / Тез. докл.-Новомосковск: НИ РХТУ, 2005.-Ч. 1.—С.137.
- 19. Волкович А.В., Журавлев В.И., Трофимов И.С., Горбачев А.Е. Процессы на жидкометаллических катодах при образовании двухфазных сплавов стронция, бария // Современные аспекты электрокристаллизации металлов / Тез. докл. конф. посвященной 80-летию со дня рождения академика. А.Н. Барабошкина.-Екатеринбург: УрО РАН, 2005.- С.12-13
- 20. Журавлев В.И., Волкович А.В., Трофимов И.С., Хоришко Б.А. Поляризация жидких металлических катодов в хлоридных и оксидно-хлоридных стронцийсодержащих расплавах //Изв. вузов: Химия и хим. технол.- 2005.-Т. 48,-вып. 11.-С.46-51

Автор работы выражает глубокую благодарность кандидату химических наук, доценту Журавлеву В.И. за консультативную помощь и полезное обсуждение результатов работы.

.

